

# Leptogenesis in the modular $A_4$ invariant model

吉田 貴裕 (新潟大学)

共同研究者:

浅贺 岳彦 (新潟大学), Yongtae Heo (新潟大学),

立石 卓也 (北海道大学)

work in progress

2019/07/31 素粒子物理学の進展2019 @京都大学 基礎物理学研究所



# Introduction

- 標準模型は確立したが…、様々な解かれていない問題がある

{ クォーク、レプトン混合角の起源, ニュートリノ質量  
バリオ数非対称性 など

## ニュートリノ振動のパラメータ

[NuFIT 4.1 (2019)]

$3\sigma$ range	Normal Hierarchy	Inverted Hierarchy
$\sin^2 \theta_{12}$	0.275 - 0.350	0.275 - 0.350
$\sin^2 \theta_{23}$	0.433 - 0.609	0.436 - 0.610
$\sin^2 \theta_{13}$	$(2.044 - 2.435) \times 10^{-2}$	$(2.064 - 2.457) \times 10^{-2}$
$\Delta m_{21}^2$	$(6.79 - 8.01) \times 10^{-5}$ [eV]	$(6.79 - 8.01) \times 10^{-5}$ [eV]
$\Delta m_{3\ell}^2$	$(2.436 - 2.618) \times 10^{-3}$ [eV], ( $\ell = 1$ )	$-(2.419 - 2.601) \times 10^{-5}$ [eV], ( $\ell = 2$ )

{ 大きな混合角  
ニュートリノ質量階層性 を説明するモデルは？

一つの試みとして**フレーバー対称性**を課したモデル

# Introduction

## フレーバー模型

$S_3, A_4, S_4, A_5, \dots$  などの離散的対称性を課した模型が提唱されてきた

↑ モジュラー群の部分群に含まれる

- モジュラー群に含まれる離散群

$\Gamma(2) \cong S_3$ : T. Kobayashi, K. Tanaka, T. H. Tatsuishi  
Phys.Rev. D98 (2018) 016004

$\Gamma(3) \cong A_4$ : F. Feruglio ,arXiv: 1706.08749,  
T. Kobayashi et al JHEP 1811 (2018) 196

$\Gamma(4) \cong S_4$ : J.T. Penedo, S.T. Petcov Nucl.Phys. B939 (2019) 292-307

$\Gamma(5) \cong A_5$ : P. Novichkov, J. Penedo, S. Petcov, A. Titov JHEP 1904 (2019) 174

---

quarkセクターへの応用, GUT, Dark matter… なども議論されている

## バリオン数非対称性を説明できるか

**$A_4$ 模型**のうちで右巻きニュートリノを含むものに注目

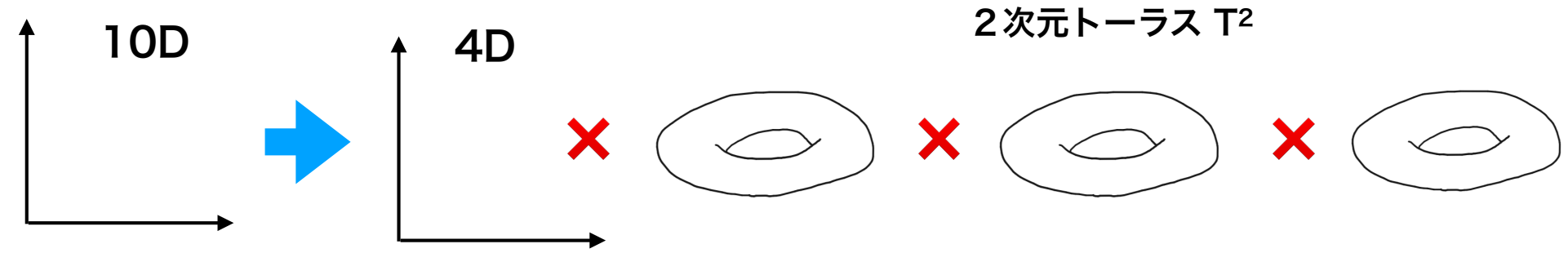
# Outline

---

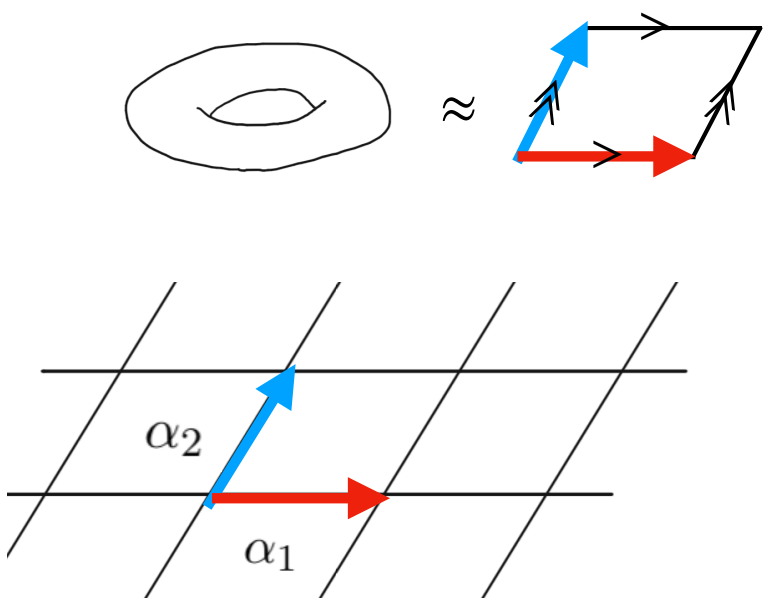
1. Introduction
2. Modular Symmetry
3. Leptogenesis
4. Numerical Analysis
5. Summary

# モジュラー群

## 4 + 6次元時空のトーラスコンパクト化



### 2次元トーラス $T^2$



### 基底の取り方の任意性

$$\begin{pmatrix} \alpha'_2 \\ \alpha'_1 \end{pmatrix} = \begin{pmatrix} a & b \\ c & d \end{pmatrix} \begin{pmatrix} \alpha_2 \\ \alpha_1 \end{pmatrix}, \quad \begin{pmatrix} a & b \\ c & d \end{pmatrix} \in SL(2, \mathbb{Z}),$$

$$SL(2, \mathbb{Z}) = \left\{ \begin{pmatrix} a & b \\ c & d \end{pmatrix} \mid a, b, c, d \in \mathbb{Z}, ad - bc = 1 \right\} \equiv \Gamma.$$

平面状の格子点を同一視

モジュラー群は2次元トーラス  $T^2$  を変えない

# モジュラー群

modulus  $\tau \equiv \frac{\alpha_2}{\alpha_1}$

によるモジュラー群の言い換え

$\tau$  は上半平面状の複素数 ( $\text{Im}\tau > 0$ )

$$\tau \rightarrow \tau' = \gamma\tau = \frac{a\tau + b}{c\tau + d}, \quad \begin{pmatrix} a & b \\ c & d \end{pmatrix} \in SL(2, \mathbb{Z})$$

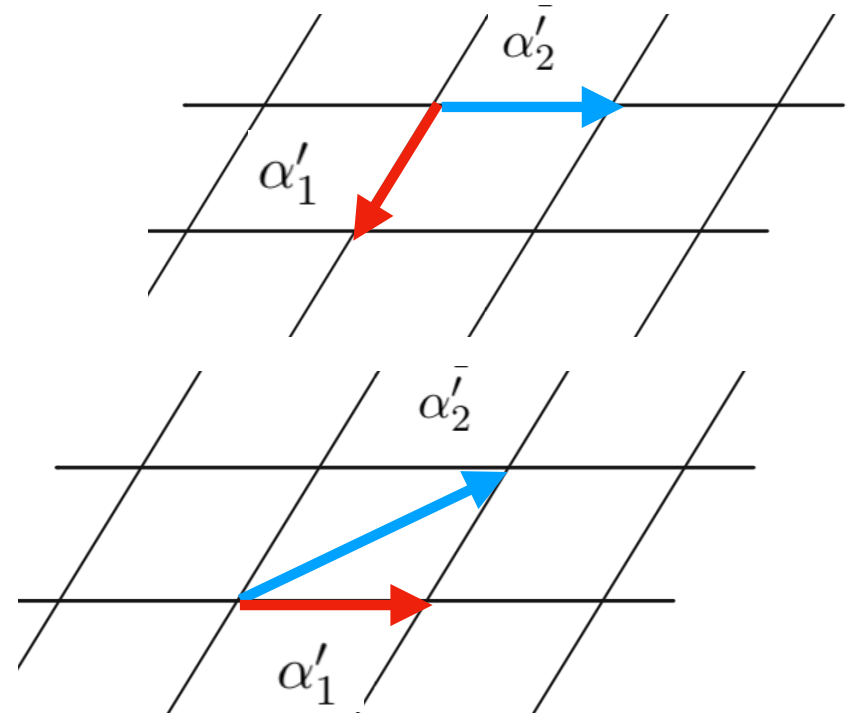
## モジュラー群の生成子 $S, T$

$S$ 変換:  $\begin{pmatrix} \alpha'_2 \\ \alpha'_1 \end{pmatrix} = \begin{pmatrix} 0 & 1 \\ -1 & 0 \end{pmatrix} \begin{pmatrix} \alpha_2 \\ \alpha_1 \end{pmatrix} = \begin{pmatrix} \alpha_1 \\ -\alpha_2 \end{pmatrix}$

$\tau \rightarrow -\frac{1}{\tau}$

$T$ 変換:  $\begin{pmatrix} \alpha'_2 \\ \alpha'_1 \end{pmatrix} = \begin{pmatrix} 1 & 1 \\ 0 & 1 \end{pmatrix} \begin{pmatrix} \alpha_2 \\ \alpha_1 \end{pmatrix} = \begin{pmatrix} \alpha_1 + \alpha_2 \\ \alpha_1 \end{pmatrix}$

$\tau \rightarrow \tau + 1$



$$(S)^2 = 1, \quad (ST)^3 = 1$$

さらに  $(T)^N = 1$  を課して, 有限部分群  $\Gamma(N)$  を得る

$$\Gamma(2) \cong S_3, \Gamma(3) \cong A_4, \Gamma(4) \cong S_4, \Gamma(5) \cong A_5$$

chiral superfield が受ける変換

S. Ferrara, D. Lust, A. Shapere, S. Theisen, Phys. Lett. B225,4(1989)

$$\phi^{(I)} \rightarrow (c\tau + d)^{-k_I} \rho^{(I)}(\gamma) \phi^{(I)}$$

$-k_I$  : modular weight

$\rho^{(I)}(\gamma)$  :  $\Gamma(N)$  の表現行列

modular weight  $k$  の modular form

$$f(\tau) \rightarrow (c\tau + d)^k \rho(\gamma) f(\tau) \quad \gamma \in \Gamma(N)$$

モジュラー不変な superpotential

$$w = \sum_n f(\tau) \phi^{(I_1)} \phi^{(I_2)} \dots \phi^{(I_n)}$$

$$k_{I_1} + k_{I_2} + \dots + k_{I_n} = k \quad \text{かつ}$$

$$\rho \times \rho^{(I_1)} \times \rho^{(I_2)} \times \dots \times \rho^{(I_n)} \ni 1 \quad \text{of } \Gamma(N)$$

# modular form

Dedekind Eta function を使うと weight  $k = 2$  の modular form が作れる

**Dedekind Eta function :** 
$$\eta(\tau) = q^{1/24} \prod_{n=1}^{\infty} (1 - q^n), \quad q \equiv e^{i2\pi\tau}$$

$S$  変換 : 
$$\eta(-1/\tau) = \sqrt{-i\tau} \eta(\tau)$$

$T$  変換 : 
$$\eta(\tau + 1) = e^{\pi i/12} \eta(\tau)$$

**weight  $k = 2$  の modular form ( $A_4$  triplet)** F. Feruglio, [arXiv : 1706.08749]

$$Y_1(\tau) = \frac{i}{2\pi} \left( \frac{\eta'(\tau/3)}{\eta(\tau/3)} + \frac{\eta'((\tau+1)/3)}{\eta((\tau+1)/3)} + \frac{\eta'((\tau+2)/3)}{\eta((\tau+2)/3)} - \frac{27\eta'(3\tau)}{\eta(3\tau)} \right)$$

$$Y_2(\tau) = \frac{-i}{\pi} \left( \frac{\eta'(\tau/3)}{\eta(\tau/3)} + \omega^2 \frac{\eta'((\tau+1)/3)}{\eta((\tau+1)/3)} + \omega \frac{\eta'((\tau+2)/3)}{\eta((\tau+2)/3)} \right)$$

$$Y_3(\tau) = \frac{-i}{\pi} \left( \frac{\eta'(\tau/3)}{\eta(\tau/3)} + \omega \frac{\eta'((\tau+1)/3)}{\eta((\tau+1)/3)} + \omega^2 \frac{\eta'((\tau+2)/3)}{\eta((\tau+2)/3)} \right)$$

$$Y = \begin{pmatrix} Y_1(\tau) \\ Y_2(\tau) \\ Y_3(\tau) \end{pmatrix} \quad \omega = e^{2\pi i/3}$$

$$Y_1(\tau) = 1 + 12q + 36q^2 + 12q^3 + \dots$$

$$Y_2(\tau) = -6q^{1/3} (1 + 7q + 8q^2 + \dots)$$

$$Y_3(\tau) = -18q^{2/3} (1 + 2q + 5q^2 + \dots)$$



# 今回考える模型

T. Kobayashi, N. Omoto, Y. Shimizu, K. Takagi, M. Tanimoto and T. H. Tatsuishi JHEP1811,196(2018)

	$L$	$e, \mu, \tau$	$\nu$	$H_u$	$H_d$
$SU(2)$	2	1	1	2	2
$A_4$	3	1, 1'', 1'	3	1	1
$-k_I$	-1	-1	-1	0	0

## superpotential

$Y$  は modular weight  $k = 2$   
の  $A_4$  triplet

$$w_e = \alpha(Ye_R H_d L)_1 + \beta(Y\mu_R H_d L)_1 + \gamma(Y\tau_R H_d L)_1$$

$$w_D = g (Y\nu_R H_u L)_1 \leftarrow$$

対称な構造と非対称な構造が現れる  
それぞれの coupling  $g_1, g_2$

$$g_1 \begin{pmatrix} 2Y_1 & -Y_3 & -Y_2 \\ -Y_3 & 2Y_2 & -Y_1 \\ -Y_2 & -Y_1 & 2Y_3 \end{pmatrix} \quad g_2 \begin{pmatrix} & Y_3 & -Y_2 \\ -Y_3 & & Y_1 \\ Y_2 & -Y_1 & \end{pmatrix}$$

$$w_N = \Lambda (Y\nu_R \nu_R)_1 \leftarrow$$

$\Lambda$  は右巻きニュートリノの mass scale を決める

# 今回考える模型

## 質量行列

$$M_E = \text{diag}[\alpha, \beta, \gamma] \begin{pmatrix} Y_1 Y_3 Y_2 \\ Y_2 Y_1 Y_3 \\ Y_3 Y_2 Y_1 \end{pmatrix}_{RL}$$

$$M_D = v_u \begin{pmatrix} 2g_1 Y_1 & (-g_1 + g_2) Y_3 & (-g_1 - g_2) Y_2 \\ (-g_1 - g_2) Y_3 & 2g_1 Y_2 & (-g_1 + g_2) Y_1 \\ (-g_1 + g_2) Y_2 & (-g_1 - g_2) Y_1 & 2g_1 Y_3 \end{pmatrix}_{RL}$$

$$M_N = \Lambda \begin{pmatrix} 2Y_1 & -Y_3 & -Y_2 \\ -Y_3 & 2Y_2 & -Y_1 \\ -Y_2 & -Y_1 & 2Y_3 \end{pmatrix}_{RR}$$

seesaw mechanism

$$M_\nu = -M_D^T M_N^{-1} M_D$$

模型のパラメータ:  $\tau, |g_1|, g_2/g_1 = g e^{i\phi_g}, \Lambda, \alpha, \beta, \gamma, v_u/v_d$

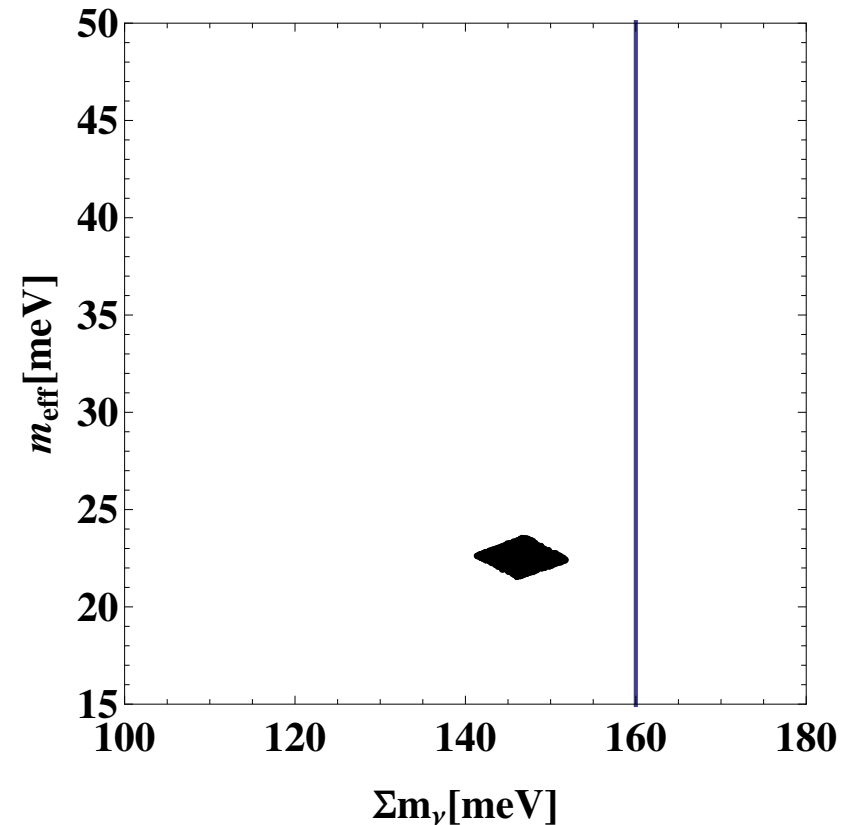
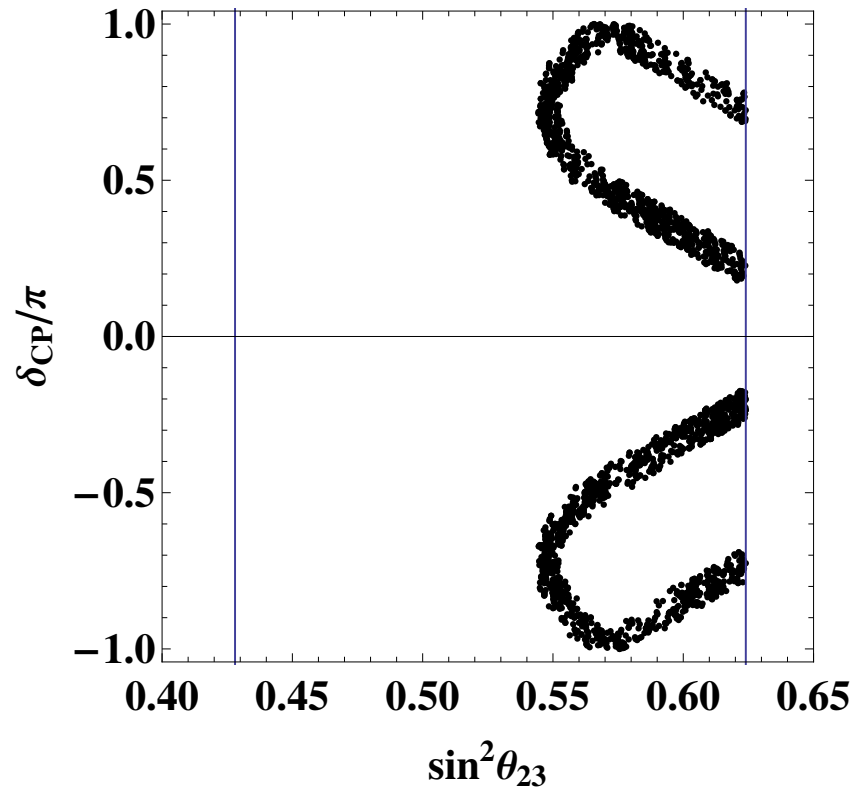
charged lepton mass から決まる

CPを破るパラメータ: ニュートリノセクターのCPを破る  
 パラメータ ( $\delta_{CP}, \alpha_{ij}$ ) とバリオン数  $Y_B$  を決める

ニュートリノ混合角, 質量二乗差を $3\sigma$ の範囲で満たすようにパラメータを決定

[NuFIT 4.1 (2019)]

## Normal hierarchyの場合



- $\theta_{23}$  と  $\delta_{CP}$  の相関が特徴的
- $\delta_{CP}$  は正負ともに大きく出うる
- 比較的大きなニュートリノ質量  $\Sigma m_\nu \sim 140 - 150 \text{ meV} < 160 \text{ meV}$

# 宇宙バリオン数非対称性

モデルのパラメータはかなり限られている

- このモデルで他に説明できる現象はあるか

右巻きニュートリノによる seesaw mechanism で  
neutrino massを説明するモデル



$\nu_R$ の崩壊によるleptogenesisで **バリオン数非対称性(BAU)**  
を説明できるかもしれない

{ leptogenesisによりBAUを説明可能か  
BAUを説明するような $\nu_R$ はどんな性質を持つか

# 宇宙バリオン数非対称性

$$\text{バリオン数の残存量} : Y_B = \frac{n_b - n_{\bar{b}}}{s} \quad \left( \begin{array}{l} n_b, n_{\bar{b}} : \text{バリオン, 反バリオン数密度} \\ s : \text{エントロピー密度} \end{array} \right)$$

$$\text{観測値} : Y_B^{\text{obs}} = (0.852 - 0.888) \times 10^{-10} \quad [\text{Planck 2018}]$$

## サハロフの3条件

### 1. バリオン数の破れ

→ レプトン数の破れがスファレロン過程によりバリオン数に転化

### 2. C対称性とCP対称性が破れている

→ 模型に現れる  $\text{Re}\tau$  と  $\phi_g$  により破れている

### 3. 熱平衡状態からのずれ

→  $T_{sph} \ll M_1$   $\nu_R$  の崩壊がinverse decayより多く起こり実現

$T_{sph}$  : スファレロン温度

$M_1$  : 右巻きニュートリノ質量

# Leptogenesis

- この模型でのleptogenesis

ニュートリノの質量  $M_\nu \propto \frac{(g_1 v_u)^2}{\Lambda}$

$$M_N = \Lambda \begin{pmatrix} 2Y_1 & -Y_3 & -Y_2 \\ -Y_3 & 2Y_2 & -Y_1 \\ -Y_2 & -Y_1 & 2Y_3 \end{pmatrix}$$

➡  $\Lambda$ は自由にとれる

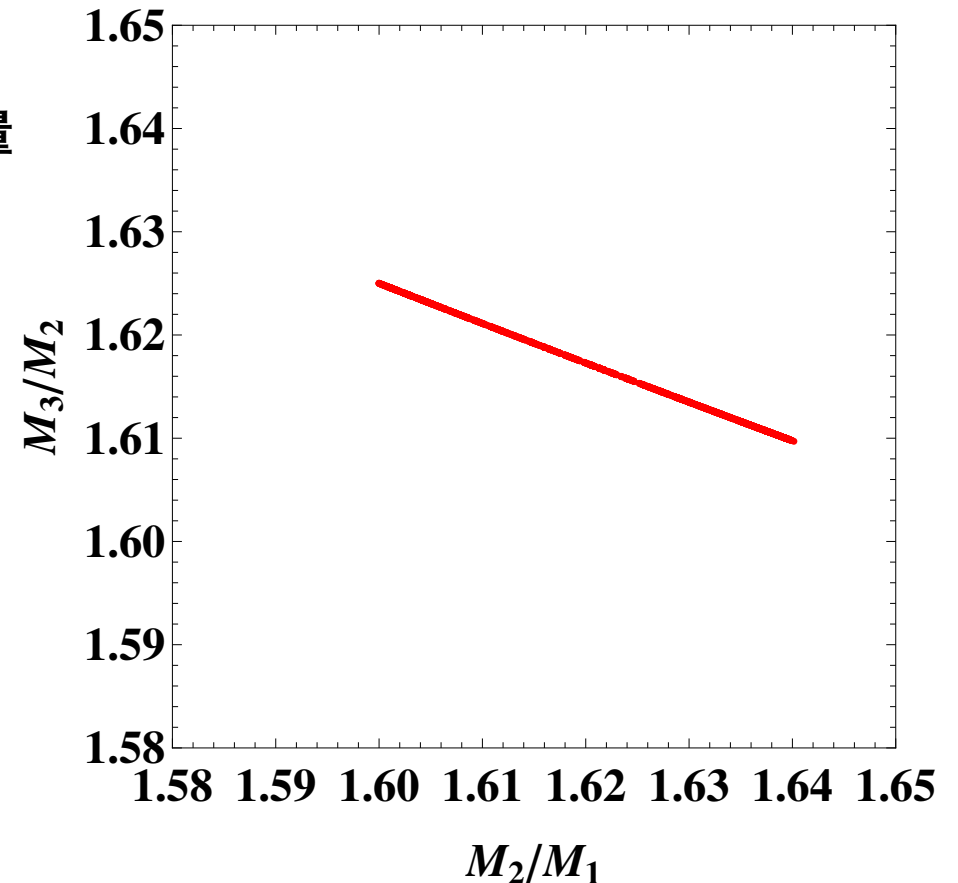
- $\nu_R$ のmass hierarchy

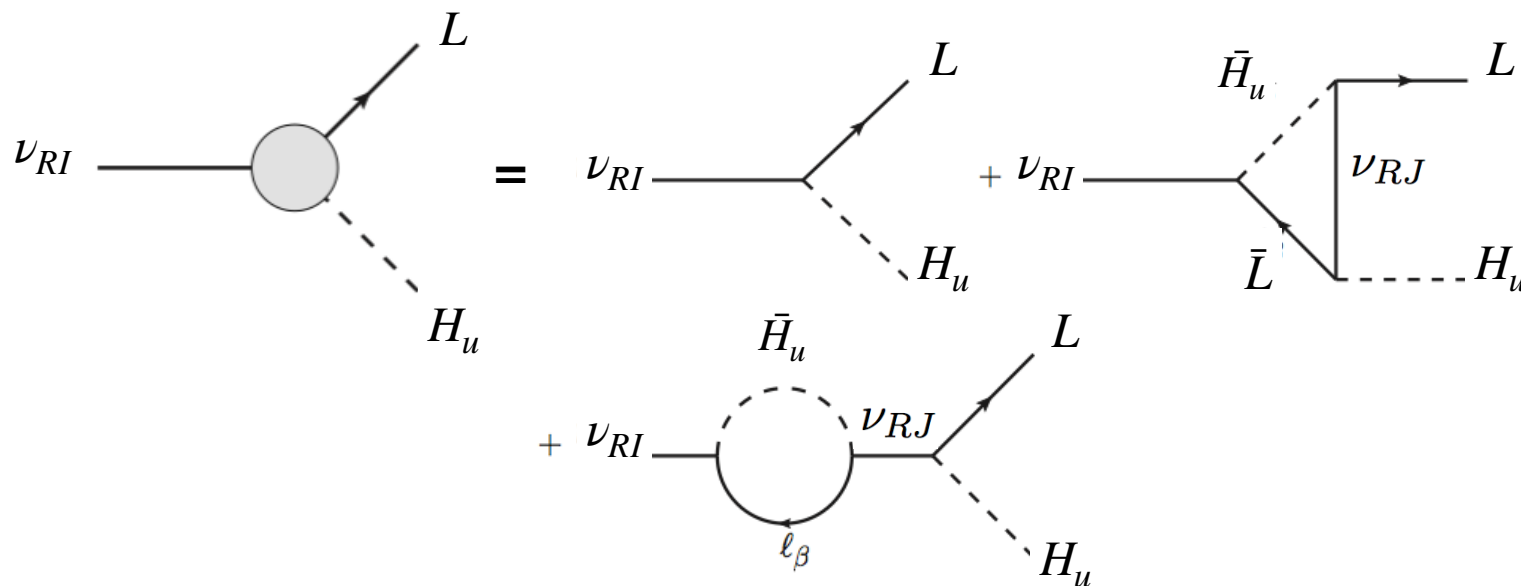
右巻きニュートリノ  
質量固有値の比

➡  $\nu$ の混合角や質量  
を決めたことで  
決まる

$$M_2/M_1, M_3/M_2 \sim 1.6$$

➡ レプトン数を共鳴的に  
生成することは期待できない





$$\varepsilon_I \equiv \frac{\Gamma(\nu_{RI} \rightarrow LH_u) - \Gamma(\nu_{RI} \rightarrow \bar{L}\bar{H}_u)}{\Gamma(\nu_{RI} \rightarrow LH_u) + \Gamma(\nu_{RI} \rightarrow \bar{L}\bar{H}_u)}$$

$$= \frac{1}{8\pi} \sum_{J \neq I} \frac{\text{Im}[(Y_\nu Y_\nu^\dagger)_{IJ}^2]}{(Y_\nu Y_\nu^\dagger)_{II}} \left[ I\left(\frac{M_J^2}{M_I^2}\right) + J\left(\frac{M_J^2}{M_I^2}\right) \right]$$

$$I(x) = x^{\frac{1}{2}} \left\{ 1 + (1+x) \log\left(\frac{x}{1+x}\right) \right\}$$

$$J(x) = \frac{x^{\frac{1}{2}}}{1-x}$$

右巻きニュートリノの質量の比から決定

$$\propto g_{\Gamma}^2 \propto \frac{m_\nu \Lambda}{\nu_u^2} \quad \text{右巻きニュートリノ質量スケールに比例}$$

# Leptogenesis

## まず $Y_B$ の符号を議論する

- レプトン数の破れはスファレロン過程によってバリオン数へ転化される

$$Y_B = -\frac{8}{23}Y_L$$

- $m_\nu$  が比較的大きくニュートリノの湯川が大きい

➔  $M_1$  が大きくなければバリオン数作れない ( $M_1 \gg 10^{11} \text{ GeV}$ )

e,  $\mu$ ,  $\tau$  のフレーバーを区別しなくて良い

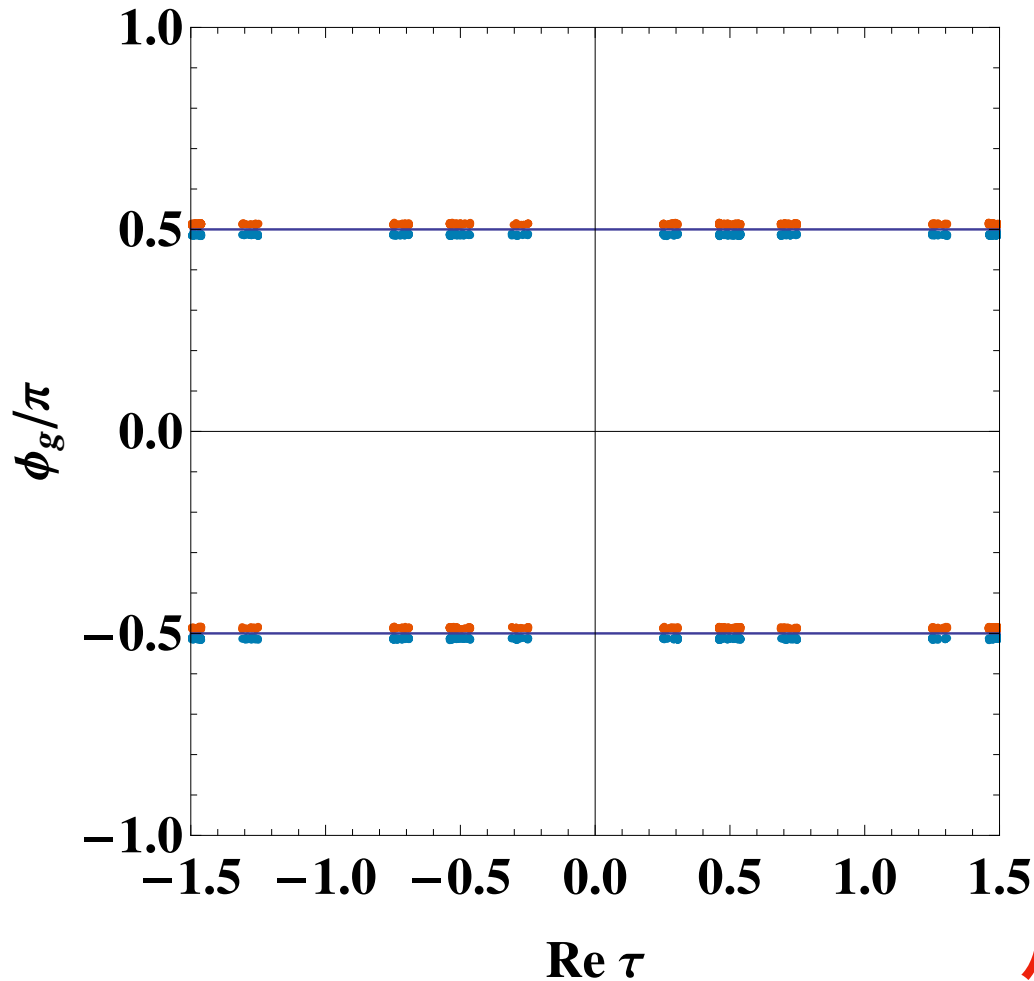
$\Lambda = 10^{13} \text{ GeV}$  に固定してボルツマン方程式を数値的に解くことで  $Y_B$  の符号を評価  
(右巻きニュートリノ 3 世代の反応を考慮)



# $Y_B$ のパラメータ依存性

$$q = \exp(2\pi i\tau) = \exp(2\pi i\text{Re}\tau) \exp(-2\pi\text{Im}\tau)$$

$Y_B$ の符号に関わるパラメータ:  $\tau = \text{Re}\tau + i\text{Im}\tau$ ,  $g_2/g_1 = g e^{i\phi_g}$



- $Y_B > 0$

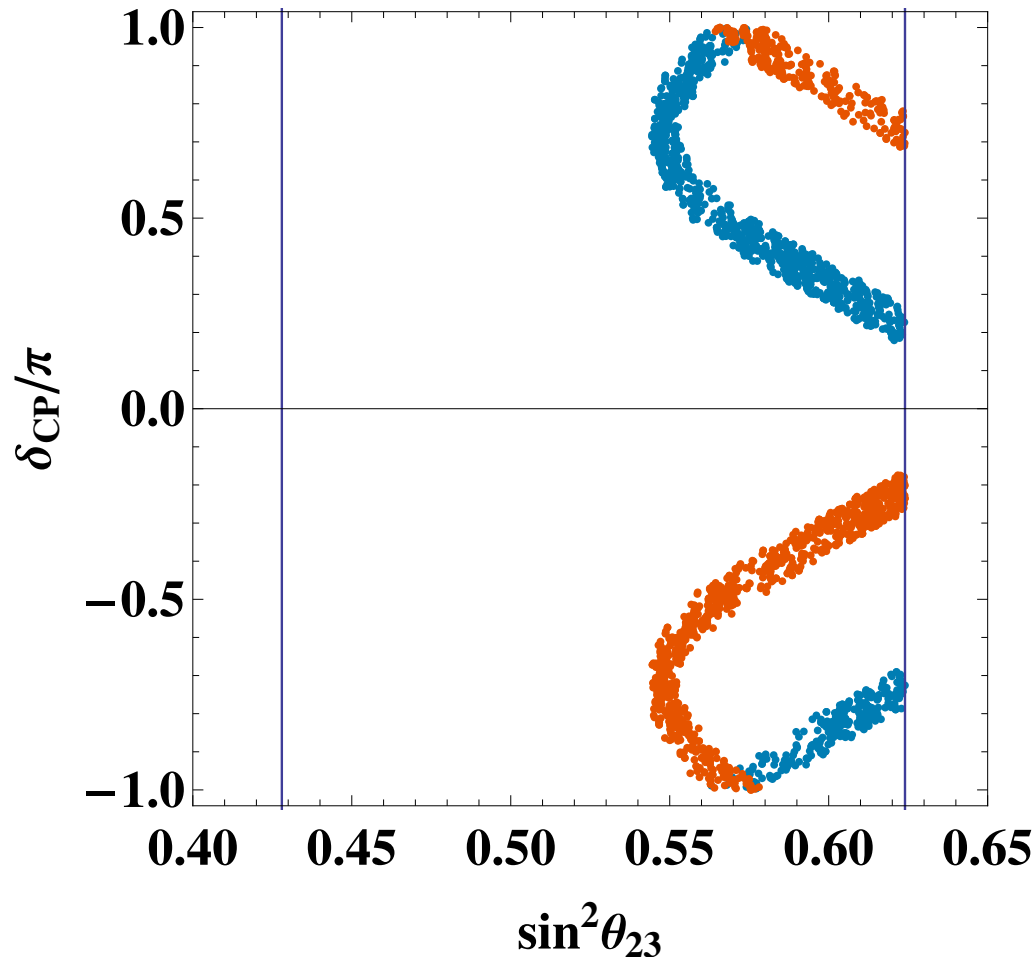
- $Y_B < 0$

- $\text{Re}\tau$  の符号は  $Y_B$  の符号を変えない

- $\phi_g = \pm \pi/2 + \varepsilon$  :  $Y_B > 0$   
( $\varepsilon > 0$ )

バリオン数の符号は  $\phi_g$  によって変わる.

# $Y_B$ の符号 —他の観測量との相関—



- $Y_B > 0$
- $Y_B < 0$

- $Y_B > 0$  の領域

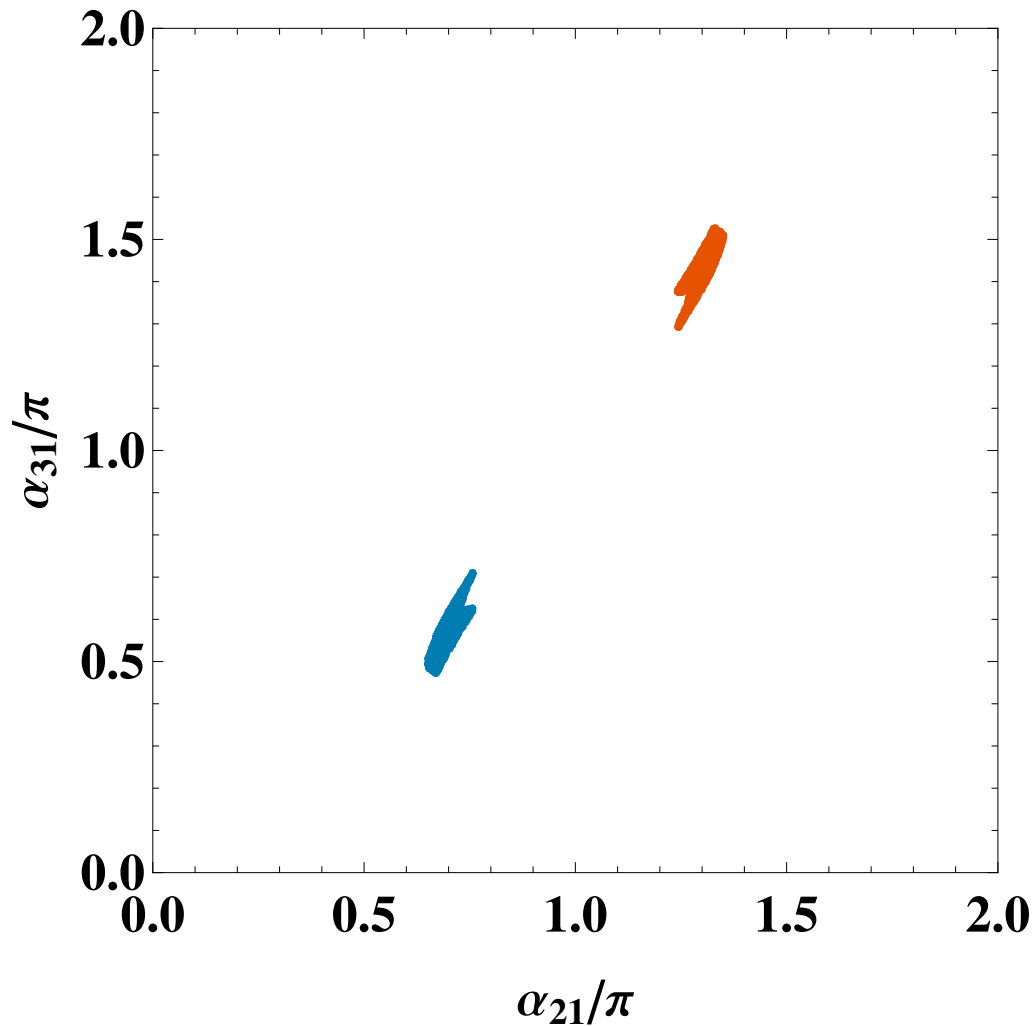
$$\begin{cases} -\pi \leq \delta_{CP} < -0.2\pi \\ 0.7\pi < \delta_{CP} < \pi \end{cases}$$

- $\delta_{CP} \sim -\pi/2$  は  $Y_B > 0$  を予言

T2K実験が示唆する $\delta_{CP}$ の値と  
consistent

➔  $\delta_{CP}$ と $\sin^2 \theta_{23}$ の測定により  
シナリオのテストが可能

# $Y_B$ の符号 —マヨラナ位相との相関—



- $Y_B > 0$

- $Y_B < 0$

- $Y_B > 0$ を预言する

マヨラナ位相 $\alpha_{21}, \alpha_{31}$ は

$$\begin{cases} \alpha_{21} \sim 1.3\pi \\ \alpha_{31} \sim 1.5\pi \end{cases} \quad \text{のみ}$$

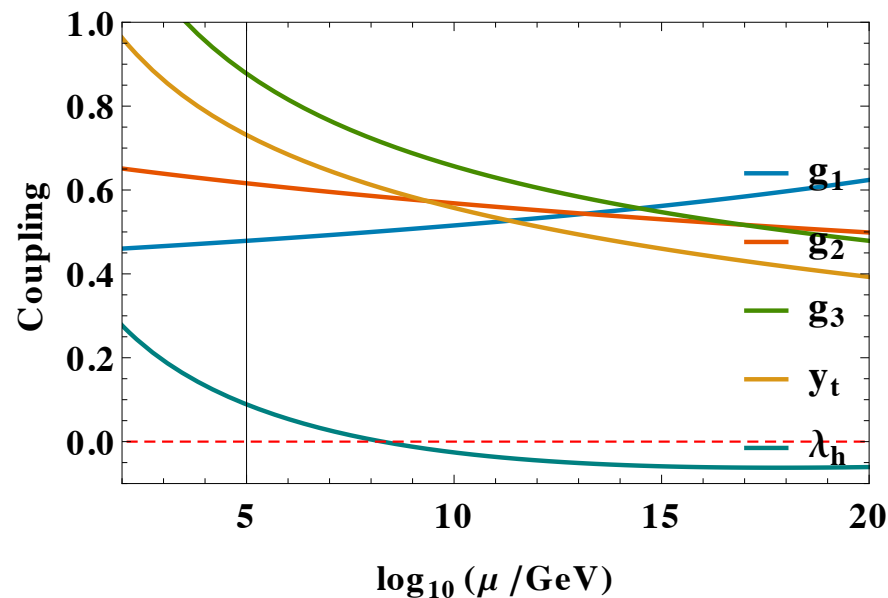
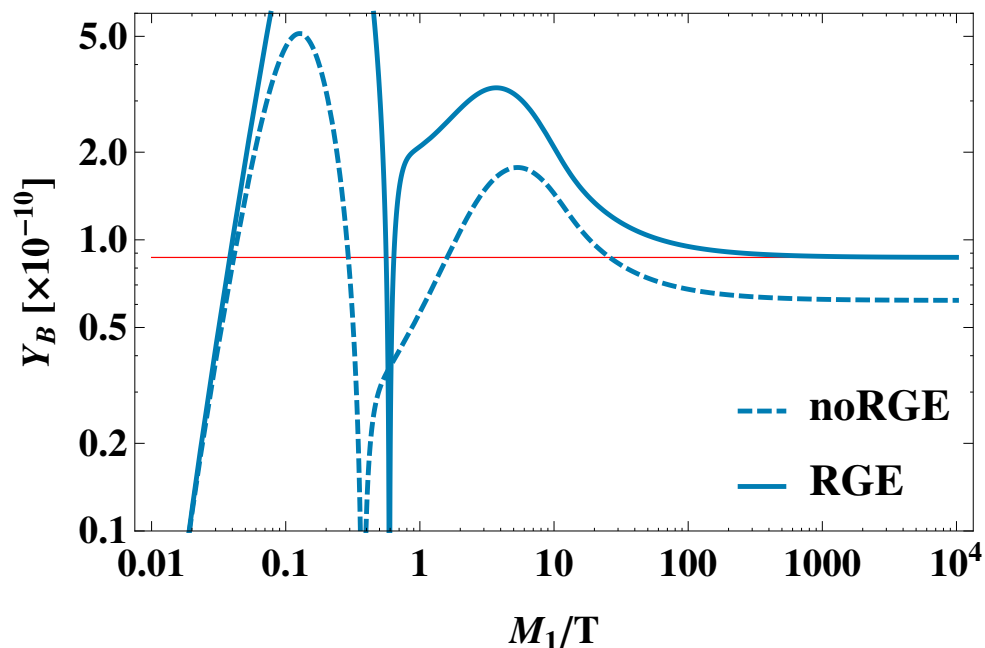
➔ 限定的な値のみに許される

# $Y_B$ の大きさ

## $Y_B$ の大きさを評価

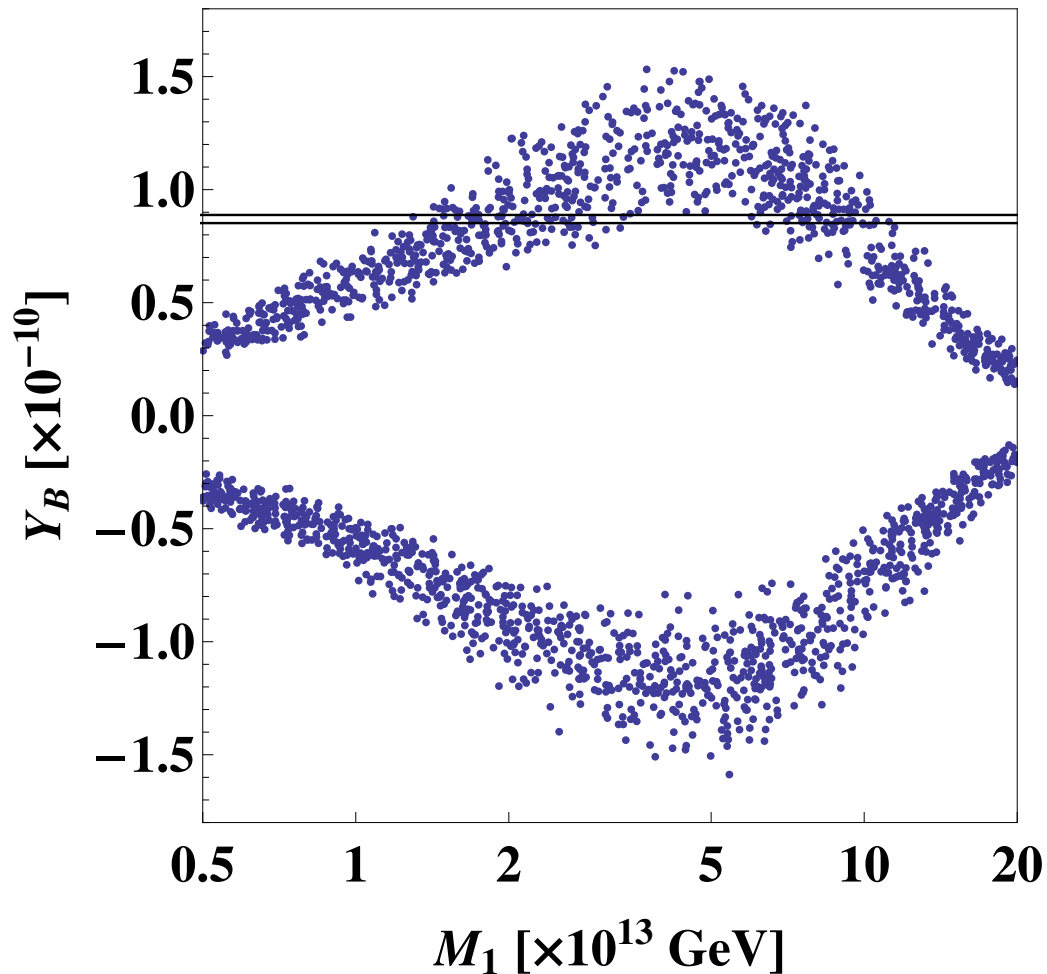
- $\nu_R$ の崩壊過程、top yukawa, gauge 相互作用を介した過程を考慮
- top yukawa, gauge couplingは1-loop のRGEによる発展を考慮

➡ top yukawa相互作用による wash-out効果が弱まる



← coupling の runningにより 最終的な $Y_B$ は $\mathcal{O}(1)$ 変わる

# $Y_B$ の大きさ



- 実線: 観測値

$$Y_B = (0.852 - 0.888) \times 10^{-10}$$

一番軽い  
右巻きニュートリノ質量

$$M_1 \sim (1 - 10) \times 10^{13} \text{ GeV}$$

がバリオン数  $Y_B$  の観測量を  
説明可能な領域

$M_1, M_2, M_3$  がほぼ決まる  
( $M_2 \sim 1.6M_1, M_3 \sim 2.6M_1$ )

## まとめ

- モジュラー群の $A_4$ と同形な合同部分群を対称性として課したモデルを議論した。

ニュートリノ質量、混合角 (先行研究の結果)

---

レプトン数生成 (今回やったこと)

- T2K実験が示唆する $\delta_{CP} \sim -\pi/2$ 付近は、正のバリオン数を预言する。
- マヨラナ位相 $\alpha_{21}, \alpha_{31}$ はバリオン数の符号と強い相関を持つ。
- バリオン数の観測量を説明するは $M_1, M_2, M_3$ は $\mathcal{O}(10^{13})$  GeV.